

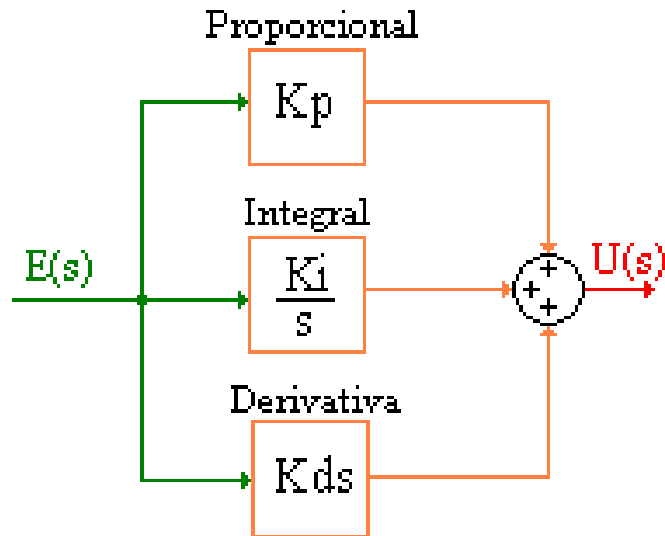
Control Automático

Liliana Fernández Samacá

UPTC Sogamoso

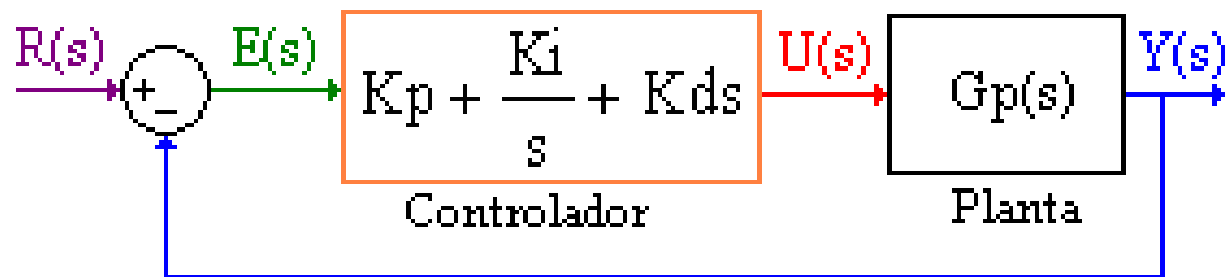
Sesión 7: Compensación
Controladores PID, Retroalimentación de Estados y
Compensadores

Controladores PID



$$\frac{U(s)}{E(s)} = K_p \left[1 + \frac{1}{\tau_i s} + \tau_d s \right]$$

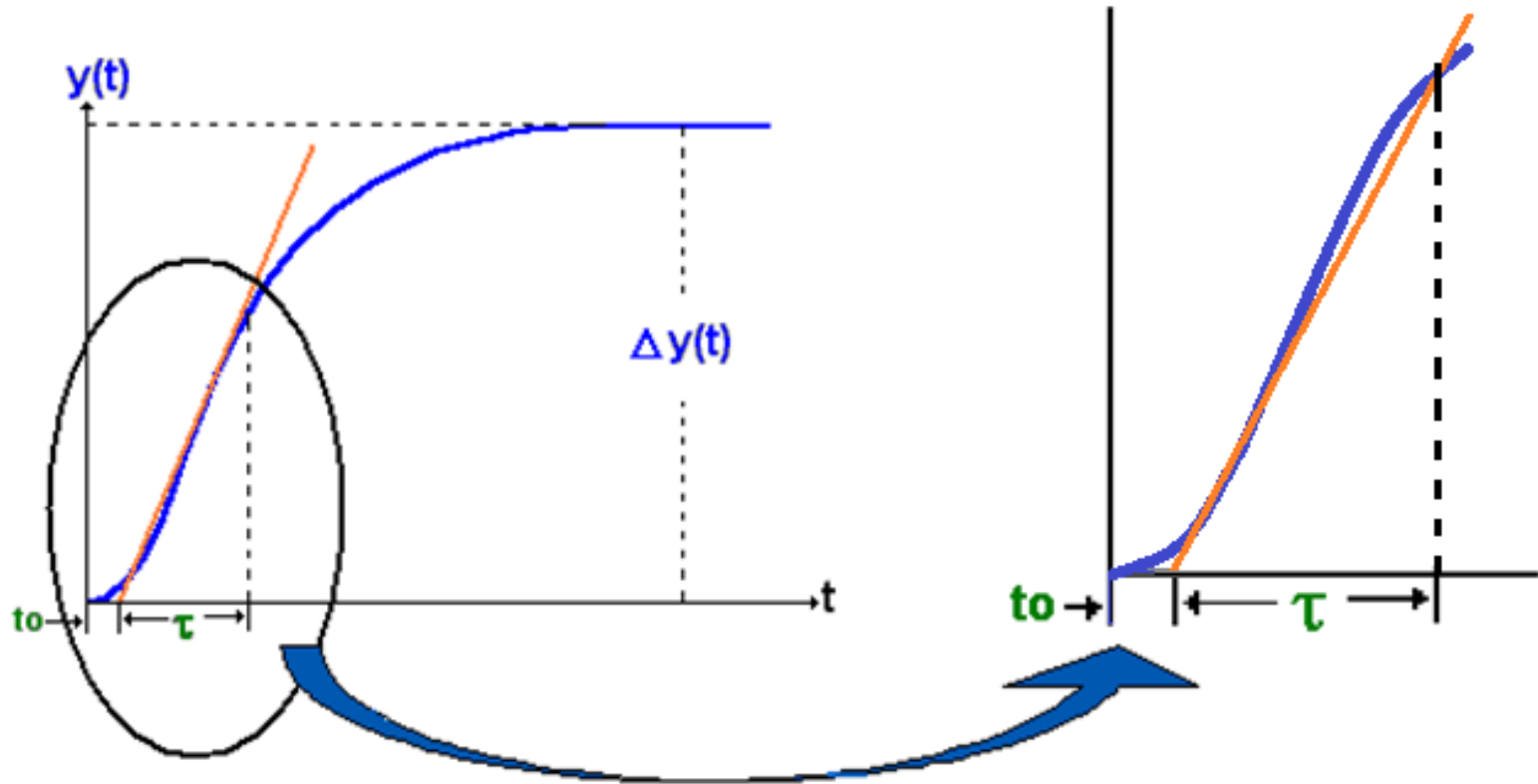
a) Diagrama de bloques de un controlador PID



b) Sistema controlado con PID

Curva de reacción

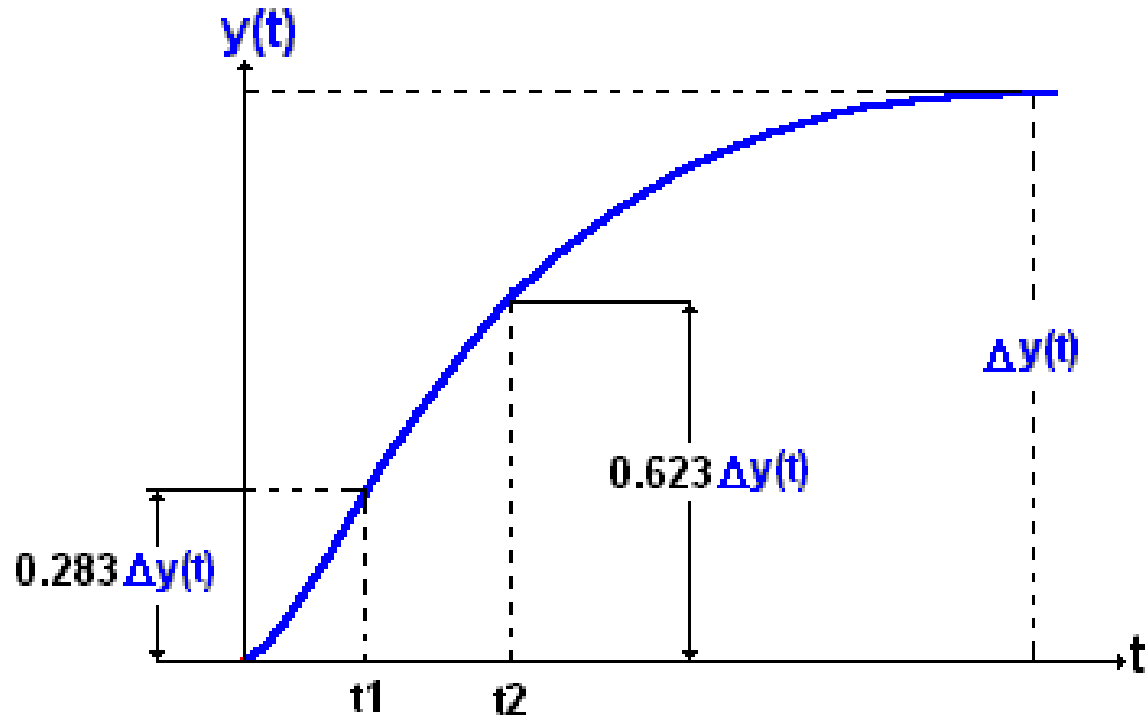
Método de la tangente



$$G(s) = \frac{Ke^{-t_0s}}{\tau s + 1}$$

Curva de reacción

Método de dos puntos (Smith)



$$\tau = \frac{3}{2} (t_2 - t_1)$$

$$t_o = t_2 - \tau$$

$$G(s) = \frac{K e^{-t_o s}}{\tau s + 1}$$

$$e^{-t_o s} = \frac{1 - \frac{t_o}{2} s}{1 + \frac{t_o}{2} s}$$

Controladores PID

Diseño Experimental

$$G(s) = \frac{Ke^{-t_o s}}{\tau s + 1}$$

$$\frac{U(s)}{E(s)} = Kp \left[1 + \frac{1}{\tau_i s} + \tau_d s \right]$$

Ziegler – Nichols

Controlador	Kp	τ_i	τ_d
P	$\frac{1}{K} \left(\frac{t_o}{\tau} \right)^{-1}$	α	0
PI	$\frac{0.9}{K} \left(\frac{t_o}{\tau} \right)^{-1}$	$3.33 t_o$	0
PID	$\frac{1.2}{K} \left(\frac{t_o}{\tau} \right)^{-1}$	$2 t_o$	$\frac{1}{2} t_o$

Controladores PID

Diseño Experimental

$$G(s) = \frac{K e^{-t_o s}}{\tau s + 1}$$

$$\frac{U(s)}{E(s)} = Kp \left[1 + \frac{1}{\tau_i s} + \tau_d s \right]$$

Criterios de Mínima Integral del error

$$IAE = \int_0^{\alpha} |e(t)| dt$$

La integral del valor absoluto del error (IAE)

$$ICE = \int_0^{\alpha} e(t)^2 dt$$

La integral del cuadrado del error (ICE)

$$ITAE = \int_0^{\alpha} t |e(t)| dt$$

La integral del valor absoluto del error ponderado en el tiempo (ITAE)

$$ICET = \int_0^{\alpha} t e(t)^2 dt$$

El cuadrado del error ponderado en el tiempo (ICET)

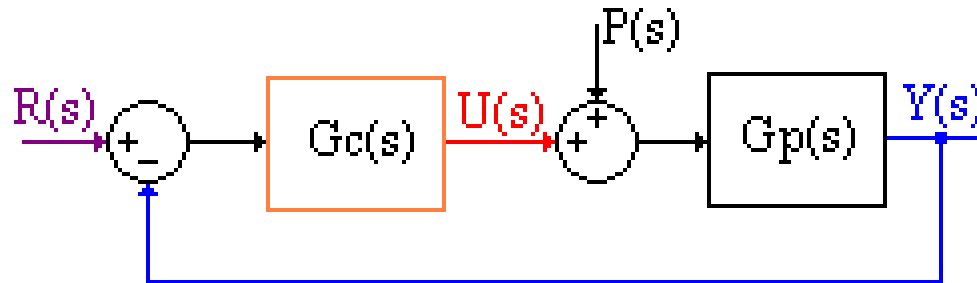
Controladores PID

Diseño Experimental

$$G(s) = \frac{Ke^{-t_o s}}{\tau s + 1}$$

$$\frac{U(s)}{E(s)} = Kp \left[1 + \frac{1}{\tau_i s} + \tau_d s \right]$$

Criterios de Mínima Integral del error



Perturbaciones (Regulación)

Controlador	P		PI				PID					
	$Kp = \frac{a}{K} \left(\frac{t_o}{\tau} \right)^b$		$Kp = \frac{a_1}{K} \left(\frac{t_o}{\tau} \right)^{b_1} \quad \tau_i = \frac{\tau}{a_2} \left(\frac{t_o}{\tau} \right)^{b_2}$				$Kp = \frac{a_1}{K} \left(\frac{t_o}{\tau} \right)^{b_1} \quad \tau_i = \frac{\tau}{a_2} \left(\frac{t_o}{\tau} \right)^{b_2} \quad \tau_d = a_3 \tau \left(\frac{t_o}{\tau} \right)^{b_3}$					
Criterios	a	b	a ₁	b ₁	a ₂	b ₂	a ₁	b ₁	a ₂	b ₂	a ₃	b ₃
ICE	1.411	-0.917	1.305	-0.959	0.492	0.739	1.495	-0.945	1.101	0.771	0.560	1.006
IAE	0.902	-0.985	0.984	-0.986	0.608	0.707	1.435	-0.921	0.878	0.749	0.482	1.137
ITAE	0.490	-1084	0.859	-0.977	0.674	0.680	1.357	-0.947	0.842	0.738	0.381	0.995

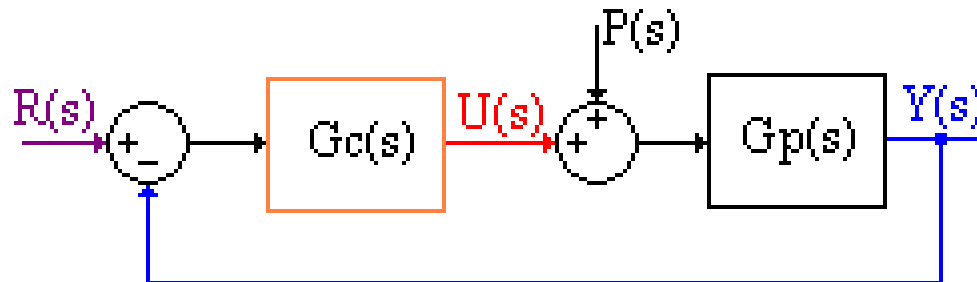
Controladores PID

Diseño Experimental

$$G(s) = \frac{Ke^{-t_o s}}{\tau s + 1}$$

$$\frac{U(s)}{E(s)} = Kp \left[1 + \frac{1}{\tau_i s} + \tau_d s \right]$$

Criterios de Mínima Integral del error



Punto de Control (Seguimiento)

Controlador	PI				PID					
	$Kp = \frac{a_1}{K} \left(\frac{t_o}{\tau} \right)^{b_1} \quad \tau_i = \frac{\tau}{a_2} \left(\frac{t_o}{\tau} \right)^{b_2}$				$Kp = \frac{a_1}{K} \left(\frac{t_o}{\tau} \right)^{b_1} \quad \tau_i = \frac{\tau}{a_2} \left(\frac{t_o}{\tau} \right)^{b_2} \quad \tau_d = a_3 \tau \left(\frac{t_o}{\tau} \right)^{b_3}$					
Criterios	a ₁	b ₁	a ₂	b ₂	a ₁	b ₁	a ₂	b ₂	a ₃	b ₃
IAE	0.758	-0.861	1.02	-0.323	1.086	-0.869	0.740	-0.130	0.348	0.914
ITAE	0.586	-0.916	1.03	-0.165	0.965	-0.855	0.796	-0.147	0.308	0.9292

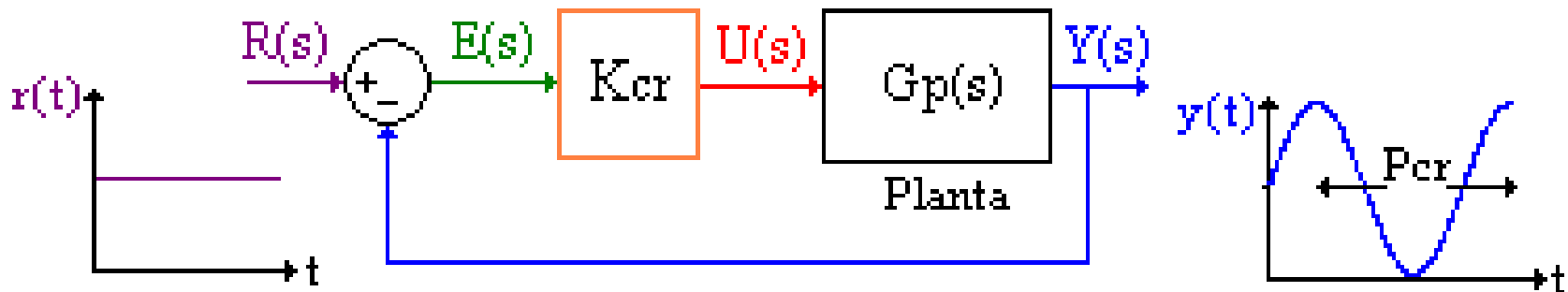
Controladores PID

Diseño Experimental

$$\frac{U(s)}{E(s)} = K_p \left[1 + \frac{1}{\tau_i s} + \tau_d s \right]$$

$$G(s) = \frac{1}{s^2 + 10}$$

Método Zieglers – Nichols para sistemas inestables.



Controlador	K_p	τ_i	τ_d
P	$0.5K_{cr}$	α	0
PI	$0.45K_{cr}$	$\frac{1}{1.2} P_{cr}$	0
PID	$0.6K_{cr}$	$0.5P_{cr}$	$0.125P_{cr}$

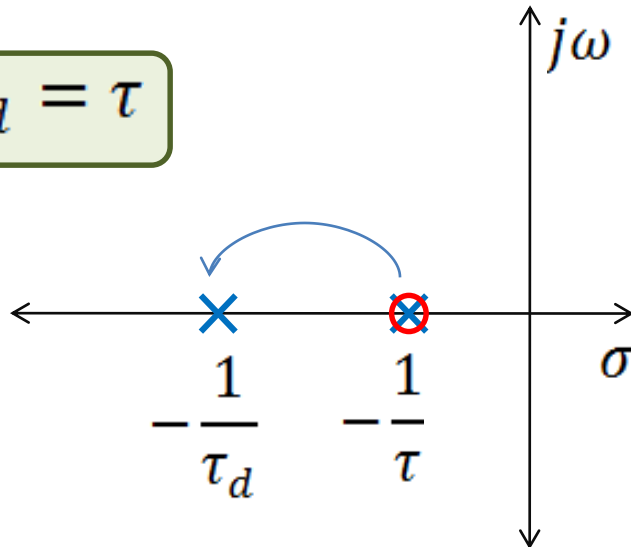
Controladores PD

Cancelación polo-cero

$$G_c(s) = \frac{Kp(\tau_d s + 1)}{(0.1\tau_d s + 1)}$$

$$G_p(s) = \frac{K}{(\tau s + 1)}$$

$$\tau_d = \tau$$



$$G_p(s) = \frac{K}{(\tau_1 s + 1)(\tau_2 s + 1)}$$

$$\tau_d = \tau_1 \text{ o } \tau_d = \tau_2 \quad ?$$

$$G_p(s) = \frac{2}{(2s + 1)(6s + 1)}$$

Controladores PI

Cancelación polo-cero

$$G_c(s) = \frac{1}{\tau_i s}$$

$$G_p(s) = \frac{K}{(\tau s + 1)}$$

Diseño analítico

$$G_c(s) = \frac{K_p(\tau_i s + 1)}{\tau_i s}$$

$$G_p(s) = \frac{K}{(\tau_1 s + 1)(\tau_2 s + 1)}$$

$$\tau_i = \tau_1 \text{ o } \tau_i = \tau_2$$

?

$$G_p(s) = \frac{1}{(s + 0.5)(s + 2)}$$

- Aproximación de la derivada por el método de Euler:

$$\frac{de(t)}{dt} = \frac{e(k) - e(k-1)}{T}$$

- Aproximación de la integral por sumatorio (regla de Simpson):

$$\int_0^{Tk} e(t)dt = \sum_{i=0}^{(k-1)T} Te(i)$$

- Expresión discreta:

$$u(k) = K_c \left(e(k) + \frac{T}{T_i} \sum_{i=0}^{(k-1)T} e(i) + \frac{T_d}{T} (e(k) - e(k-1)) \right)$$

- Función de transferencia del regulador o controlador PID:

$$G_R(z) = \frac{a_0 z^2 + a_1 z + a_2}{z(z-1)} \quad a_0 = K_c \left(1 + \frac{T_d}{T} \right) \quad a_1 = K_c \left(-1 + \frac{T}{T_i} - \frac{2T_d}{T} \right) \quad a_2 = K_c \frac{T_d}{T}$$

Retroalimentación de Estados

Modelo de referencia

$$\dot{\mathbf{x}} = \mathbf{A}_m \mathbf{x} + \mathbf{B}_m r(t)$$

$$y(t) = \mathbf{C}_m \mathbf{x}$$

$$M_d(s) = \frac{\omega_n^2}{s^2 + 2\rho\omega_n s + \omega_n^2}$$

$$\dot{\mathbf{x}} = \begin{bmatrix} 0 & 1 \\ -\omega_n^2 & -2\rho\omega_n \end{bmatrix} \mathbf{x} + \begin{bmatrix} 0 \\ \omega_n^2 \end{bmatrix} r(t)$$

$$y(t) = [1 \quad 0] \mathbf{x}$$

Señal de control

$$u(t) = \mathbf{g} r(t) - \mathbf{K}^T \mathbf{x}$$

Espacio de estados de la planta

$$\dot{\mathbf{x}} = \mathbf{A} \mathbf{x} + \mathbf{B} u(t)$$

$$y(t) = \mathbf{C} \mathbf{x}$$

$$\dot{\mathbf{x}} = \mathbf{A} \mathbf{x} + \mathbf{B} [\mathbf{g} r(t) - \mathbf{K}^T \mathbf{x}]$$

$$\dot{\mathbf{x}} = \mathbf{A} \mathbf{x} + \mathbf{B} \mathbf{g} r(t) - \mathbf{B} \mathbf{K}^T \mathbf{x}$$

$$\dot{\mathbf{x}} = [\mathbf{A} - \mathbf{B} \mathbf{K}^T] \mathbf{x} + \mathbf{B} \mathbf{g} r(t)$$

$$\mathbf{A}_m \mathbf{x} + \mathbf{B}_m r(t) = [\mathbf{A} - \mathbf{B} \mathbf{K}^T] \mathbf{x} + \mathbf{B} \mathbf{g} r(t)$$

$$\mathbf{A}_m = [\mathbf{A} - \mathbf{B} \mathbf{K}^T]$$

$$\mathbf{B}_m = \mathbf{B} \mathbf{g}$$

Controlador Algebraico

Modelo deseado del sistema



$$Y(s) = G_p(s)U(s)$$

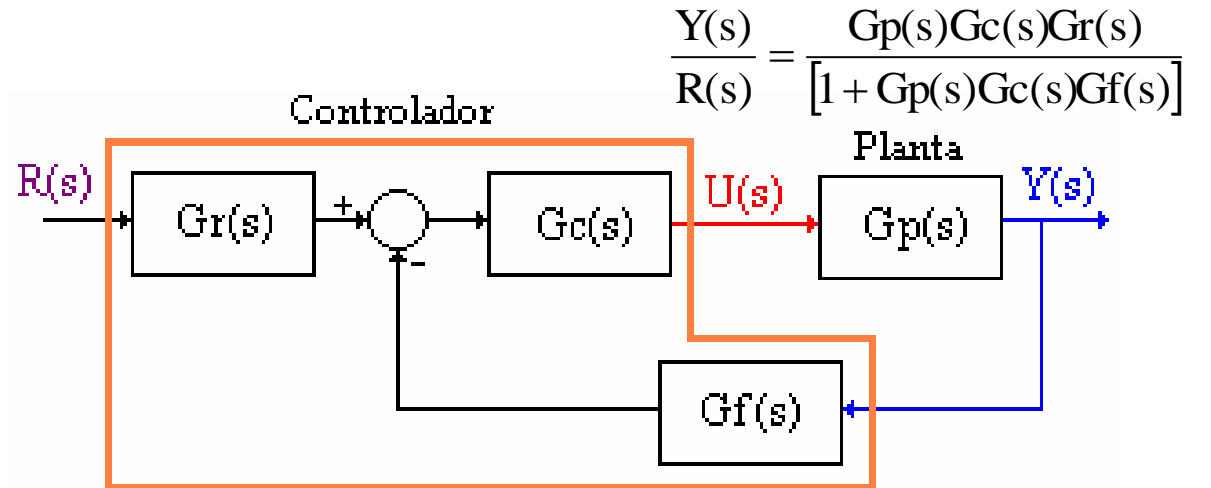
$$G_p(s) = \frac{B_p(s)}{A_p(s)}$$

$$U(s) = G_c(s)E(s)$$

$$G_c(s) = \frac{B_c(s)}{A_c(s)}$$

$$E(s) = G_r(s)R(s) - G_f(s)Y(s)$$

$$G_r(s) = \frac{B_r(s)}{A_r(s)} \quad G_f(s) = \frac{B_f(s)}{A_f(s)}$$



$$\frac{Y(s)}{R(s)} = \frac{G_p(s)G_c(s)G_r(s)}{[1 + G_p(s)G_c(s)G_f(s)]}$$

$$\frac{Y(s)}{R(s)} = \frac{\frac{B_p(s)}{A_p(s)} \frac{B_c(s)}{A_c(s)} \frac{B_r(s)}{A_r(s)}}{\left[1 + \frac{B_p(s)}{A_p(s)} \frac{B_c(s)}{A_c(s)} \frac{B_f(s)}{A_f(s)}\right]} = \frac{B_p(s)B_c(s)B_r(s)A_f(s)}{[A_p(s)A_c(s)A_f(s) + B_p(s)B_c(s)B_f(s)]A_r(s)}$$

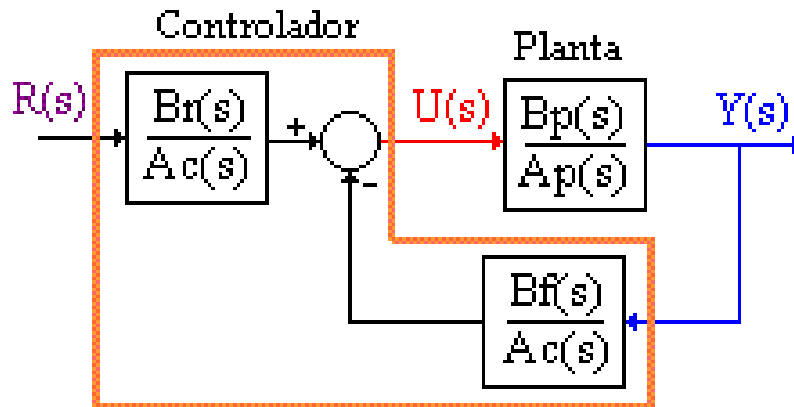
Con el fin de simplificar el diseño se hace

$$A_r(s) = A_f(s)$$

$$B_c(s) = A_f(s)$$

$$\frac{Y(s)}{R(s)} = \frac{B_p(s)B_r(s)}{[A_p(s)A_c(s) + B_p(s)B_f(s)]} = M_c(s)$$

Controlador Algebraico



$$\frac{Y(s)}{R(s)} = \frac{B_p(s)B_r(s)}{[A_p(s)A_c(s) + B_p(s)B_f(s)]} = M_c(s)$$

$$B_p(s) = b_{p0}s^{m_p} + b_{p1}s^{m_p-1} + b_{p2}s^{m_p-2} \dots + b_{p_{m_p-1}}s + b_{p_{m_p}}$$

$$A_p(s) = s^{n_p} + a_{p1}s^{n_p-1} + a_{p2}s^{n_p-2} \dots + a_{p_{n_p-1}}s + a_{p_{n_p}}$$

$$\text{gd}[B_p(s)] = m_p$$

$$\text{gd}[A_p(s)] = n_p$$

Modelo deseado del sistema

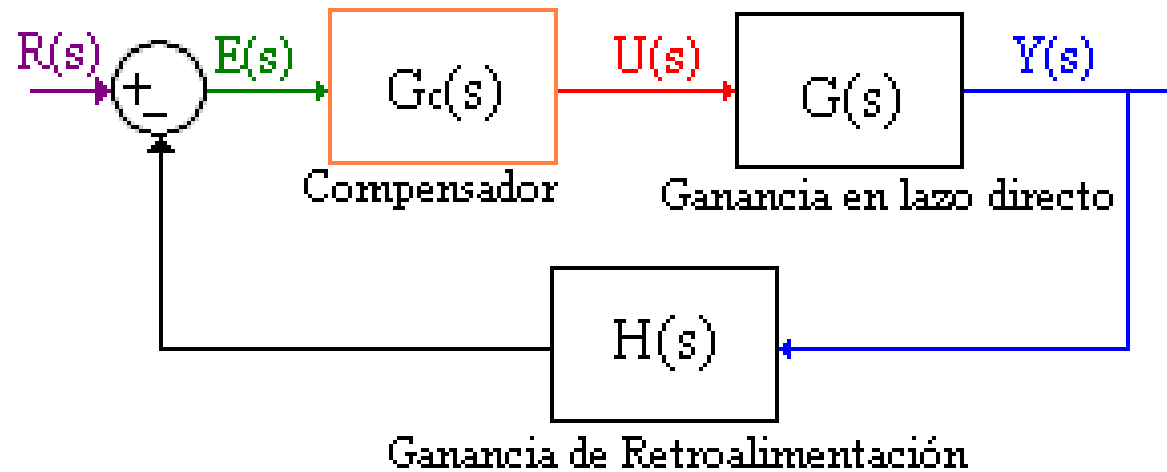


$$G_m(s) = \frac{B_m(s)}{A_m(s)} = \frac{b_0s^m + b_1s^{m-1} + \Lambda + b_{m-1}s + b_m}{s^n + a_1s^{n-1} + \Lambda + a_{n-1}s + a_n}$$

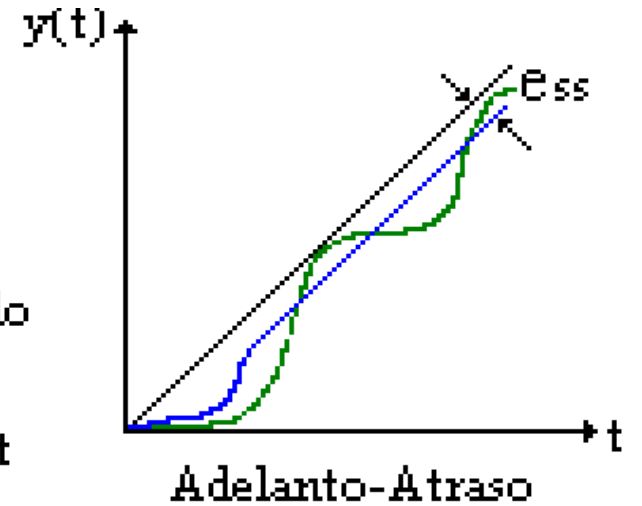
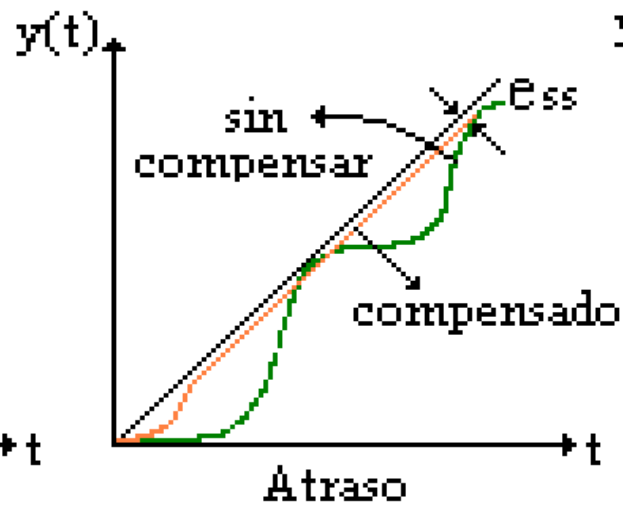
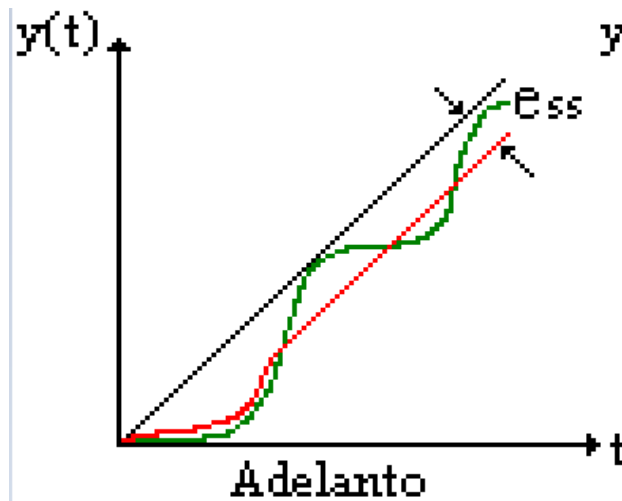
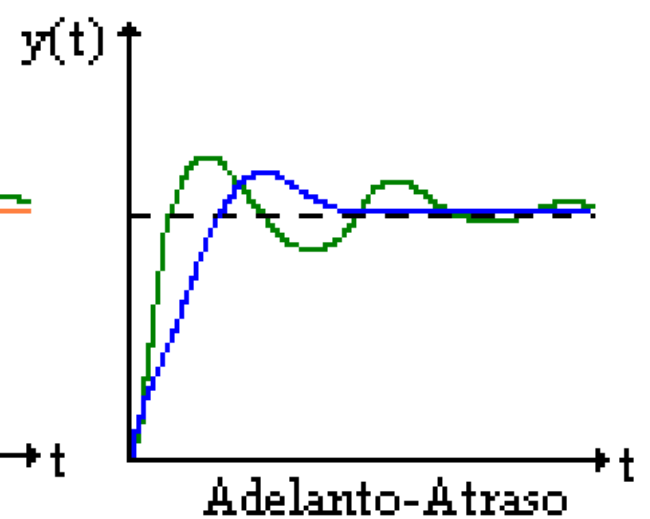
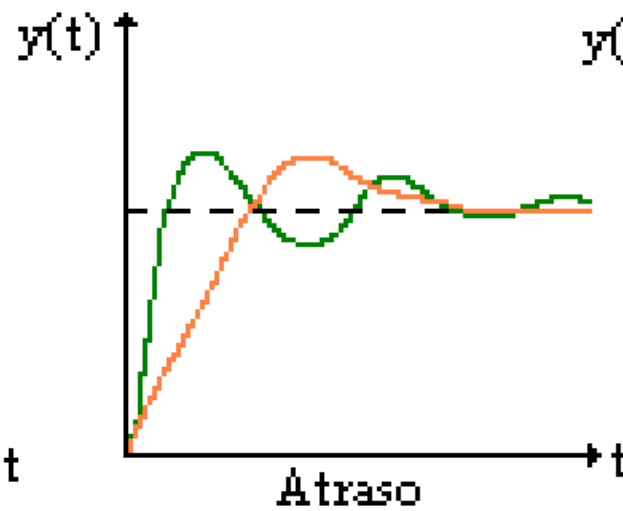
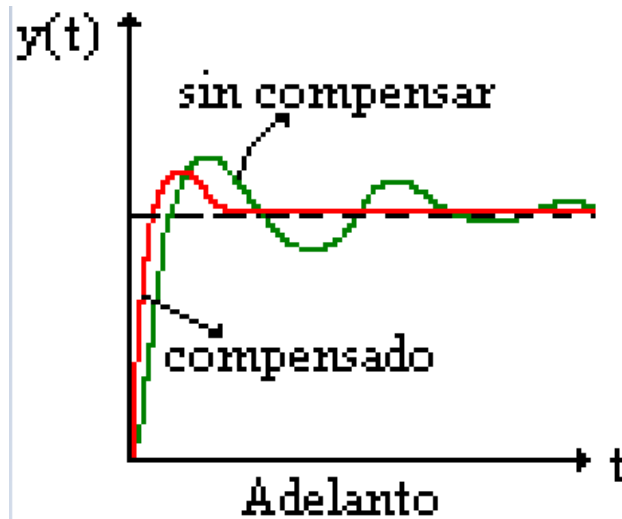
$$\text{gd}[B_m(s)] = m$$

$$\text{gd}[A_m(s)] = n$$

Compensadores



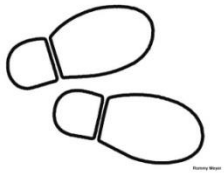
Compensadores



Compensador en adelanto

lead-compensator

$$G_c(s) = Kc\alpha \frac{(Ts + 1)}{(\alpha Ts + 1)} = Kc \frac{(s + 1/T)}{(s + 1/\alpha T)} \quad 0 < \alpha < 1$$



1. Determinar la ganancia K que satisface el requisito de coeficiente de error estático.
2. Utilizar K , para trazar el diagrama de Bode del sistema no compensado.
3. Establecer el ángulo de fase en adelanto que se necesita compensar φ_m
4. Obtener el factor de atenuación α utilizando:

$$\text{sen } \varphi_m = \frac{1 - \alpha}{1 + \alpha}$$

5. Obtener la frecuencia en que la magnitud del sistema no compensado es

$$|GH(j\omega_m)| = -20 \log \frac{1}{\sqrt{\alpha}}$$

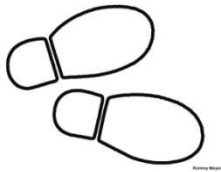
6. Escoger esta frecuencia como nueva frecuencia de cruce de ganancia, la frecuencia corresponde a , y el máximo desplazamiento de fase φ_m se producirá a ésta frecuencia

$$\omega_m = \frac{1}{\sqrt{\alpha} T}$$

Compensador en adelanto

lead-compensator

$$G_c(s) = K_c \alpha \frac{(Ts + 1)}{(\alpha Ts + 1)} = K_c \frac{(s + 1/T)}{(s + 1/\alpha T)} \quad 0 < \alpha < 1$$



7. Hallar las frecuencias de cruce del compensador en adelanto como sigue

Cero del compensador

$$\omega_0 = \frac{1}{T}$$

Polo del compensador

$$\omega_p = \frac{1}{\alpha T}$$

8. Calcular la constante de ganancia

$$K_c = \frac{K}{\alpha}$$

***verificar el margen
de ganancia para
asegurar que sea
satisfactorio!***

Ejemplo

$$G_c(s) = K_c \alpha \frac{(Ts + 1)}{(\alpha Ts + 1)} = K_c \frac{(s + 1/T)}{(s + 1/\alpha T)} \quad 0 < \alpha < 1$$

$$GH(s) = \frac{5}{s(s+3)}$$

que cumpla con un margen de fase de por lo menos 50° y una

$$K_v = 25 s^{-1}$$

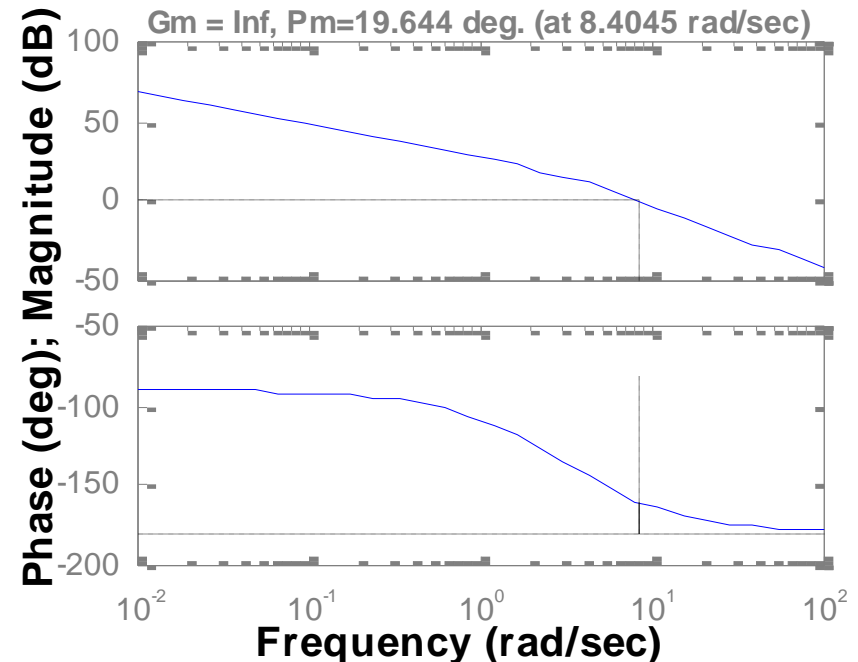
$$K_v = \lim_{s \rightarrow 0} s \frac{K \times 5}{s(s+3)} = 25$$

$$GH^*(s) = \frac{75}{s(s+3)}$$

$$\varphi_m = 36^\circ$$

El ángulo que se necesita compensar es aproximadamente 36° . Se va a escoger un poco mayor (5° a 12° más) para asegurar que tenga como mínimo un margen de fase de 50° ,

Bode Diagrams



Ejemplo

$$G_c(s) = K_c \alpha \frac{(Ts + 1)}{(\alpha Ts + 1)} = K_c \frac{(s + 1/T)}{(s + 1/\alpha T)} \quad 0 < \alpha < 1$$

$$GH(s) = \frac{5}{s(s+3)}$$

Para obtener el factor de atenuación se tiene que

$$\text{sen } \varphi_m = \frac{1-\alpha}{1+\alpha} = 0.58778$$

Despejando a α se tiene que,

$$\alpha = \frac{1 - \text{sen } \varphi_m}{[1 + \text{sen } \varphi_m]} = 0.2596$$

Se busca la frecuencia ω_m en la cual la magnitud

$$|GH(j\omega_m)| = -20 \log \frac{1}{\sqrt{\alpha}} \quad -20 \log \frac{1}{\sqrt{0.2596}} = -5.8569 \text{dB}$$

$$\omega_m = 11.9 \text{ rad / s}$$

$$\omega_m = \frac{1}{\sqrt{\alpha} T} \quad \text{se despeja } T, \text{ quedando}$$

$$T = \frac{1}{\omega_m \sqrt{\alpha}} = 0.0272$$

se obtiene el cero

$$\omega_0 = \frac{1}{T}$$

el **polo del compensador** es

$$\omega_p = \frac{1}{\alpha T} = 23.3558$$

Ejemplo

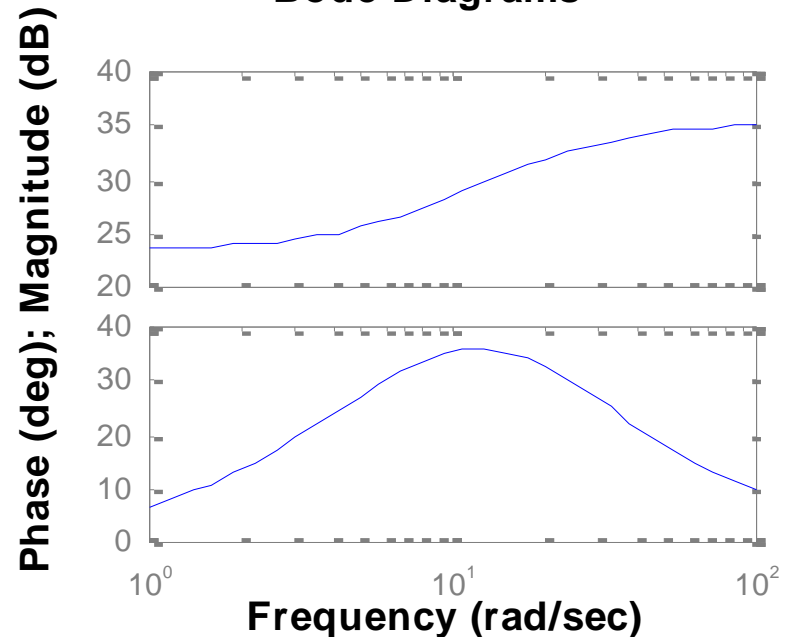
$$G_c(s) = K_c \alpha \frac{(Ts + 1)}{(\alpha Ts + 1)} = K_c \frac{(s + 1/T)}{(s + 1/\alpha T)} \quad 0 < \alpha < 1$$

$$GH(s) = \frac{5}{s(s+3)}$$

$$K_c = \frac{K}{\alpha} = \frac{15}{0.2596} = 57.78$$

$$G_c(s) = \frac{57.78(s + 6.0632)}{(s + 23.3558)}$$

Bode Diagrams

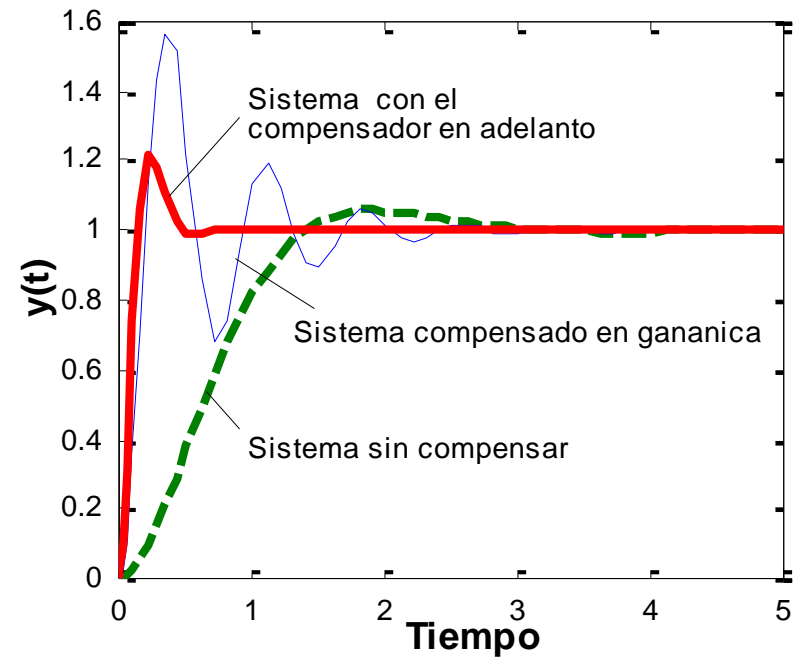
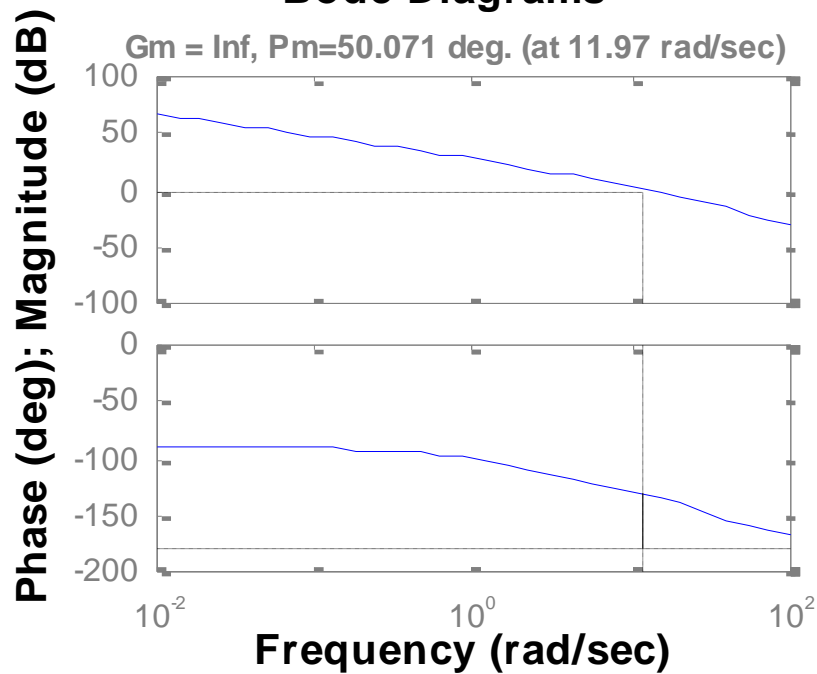


Ejemplo

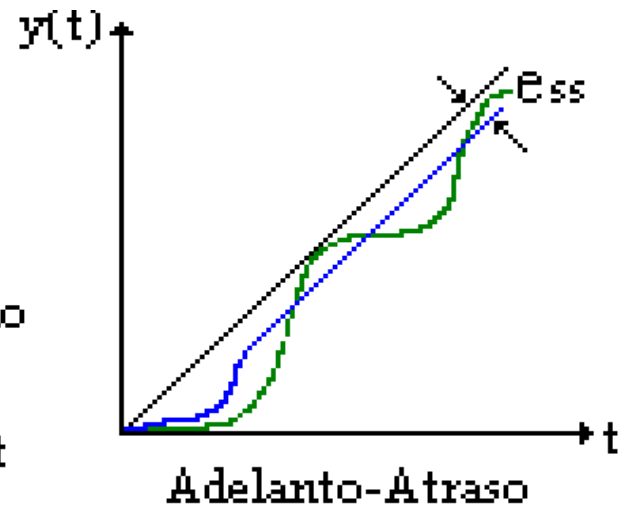
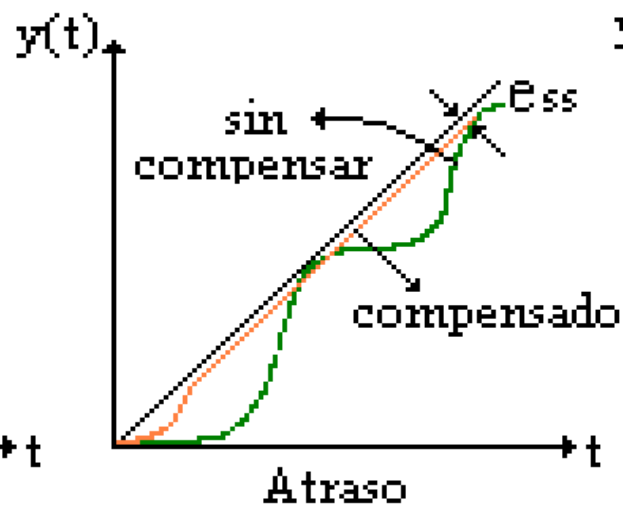
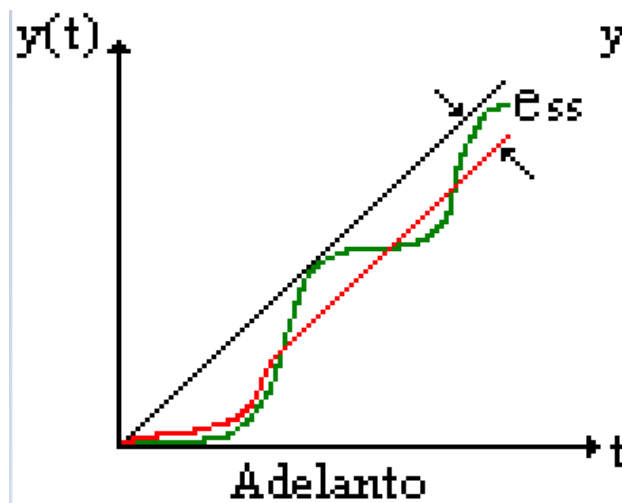
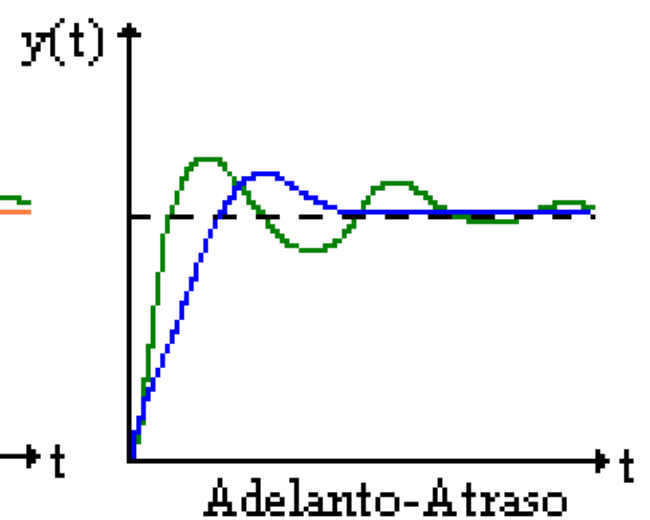
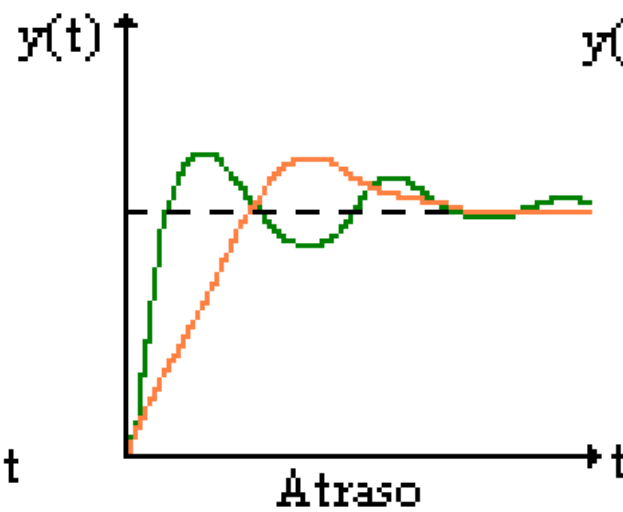
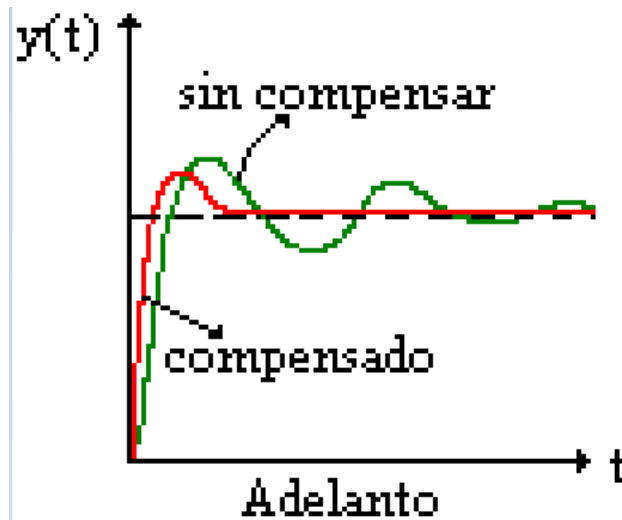
$$G_c(s) = \frac{57.78(s + 6.0632)}{(s + 23.3558)}$$

$$GH(s) = \frac{5}{s(s + 3)}$$

Bode Diagrams



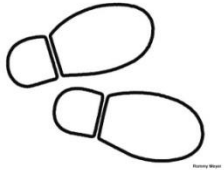
Compensadores



Compensador en atraso

lag-compensator

$$G_c(s) = K_c \beta \frac{Ts + 1}{\beta Ts + 1} = K \frac{s + \frac{1}{T}}{s + \frac{1}{\beta T}}; \beta > 1$$



1. Se obtiene la constante K que satisfaga los requerimientos de la constante de error estático dada.
2. Si el sistema no compensado no satisface las especificaciones en margen de ganancia y fase, se halla el punto de frecuencia donde el ángulo de fase de la función de transferencia de lazo abierto es igual

$$-180^\circ + \varphi_m$$

3. Donde φ_m es el margen de fase requerido (Margen de fase por compensar más 5° a 12°). La frecuencia a la cual se presenta este valor de fase es ω_m , ésta es la nueva frecuencia de cruce de ganancia.
4. La frecuencia de cruce, frecuencia del cero del compensador, se elige una década por debajo de la nueva frecuencia de cruce de ganancia

$$\omega_0 = 0.1\omega_m = \frac{1}{T}$$

Compensador en atraso

lag-compensator

$$G_c(s) = K_c \beta \frac{Ts + 1}{\beta Ts + 1} = K \frac{s + \frac{1}{T}}{s + \frac{1}{\beta T}}; \beta > 1$$

5. Se determina la atenuación necesaria para bajar la curva de magnitud en la nueva frecuencia de cruce de ganancia. Esta atenuación esta dada por $-20 \log \beta$ y permite determinar el valor de β .

$$|GH(j\omega_m)| = -20 \log \beta = 20 \log \frac{1}{\beta}$$

6. La otra frecuencia de cruce, correspondiente al polo del compensador, esta en:

$$\omega_p = \frac{1}{\beta T}$$

7. se obtiene la ganancia del compensador

$$K_c = \frac{K}{\beta}$$

Ejemplo

$$G_c(s) = K_c \beta \frac{T_s + 1}{\beta T_s + 1} = K \frac{s + \frac{1}{T}}{s + \frac{1}{\beta T}}; \beta > 1$$

$$K_v = \lim_{s \rightarrow 0} s \frac{K}{s(s+4)(0.6s+1)} = 20$$

$$GH^*(s) = \frac{80}{s(s+4)(0.6s+1)}$$

$$\varphi_m = 40^\circ + 6 = 46$$

Se obtiene la frecuencia donde la fase es igual a

$$-180^\circ + \varphi_m$$

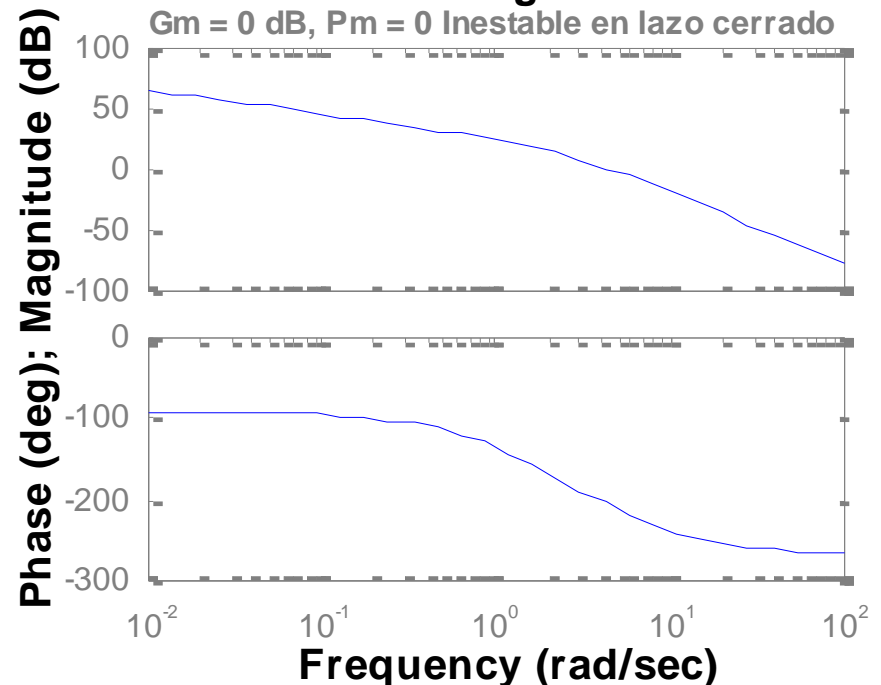
se observa la frecuencia a la cual la fase es -134°

$$\omega_m = 0.945$$

$$GH(s) = \frac{1}{s(s+4)(0.6s+1)}$$

para que cumpla con un coeficiente de error estático de $K_v = 20$ y margen de fase de por lo menos 40° y un margen de ganancia de 10dB

Bode Diagrams



Ejemplo

$$G_c(s) = K_c \beta \frac{Ts + 1}{\beta Ts + 1} = K \frac{s + \frac{1}{T}}{s + \frac{1}{\beta T}}; \beta > 1$$

La magnitud en $\omega_m = 0.945$ es aproximadamente 25dB

la atenuación que se requiere realizar es de -25dB,

$$|GH(j\omega_m)| = -20 \log \beta = 20 \log \frac{1}{\beta} = -25\text{dB}$$

$$\beta = 17.78$$

El polo del compensador estaría ubicado en

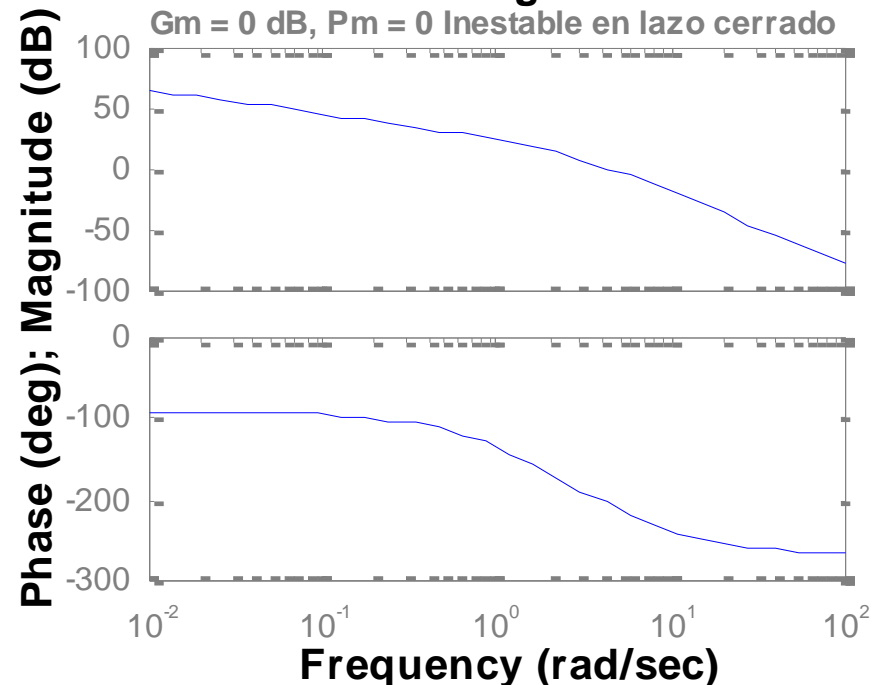
$$\omega_p = \frac{1}{\beta T} = 0.0053$$

$$\omega_m = 0.945$$

El cero se escoge una década por debajo

$$\omega_0 = 0.1\omega_m = \frac{1}{T} = 0.0945$$

Bode Diagrams



Ejemplo

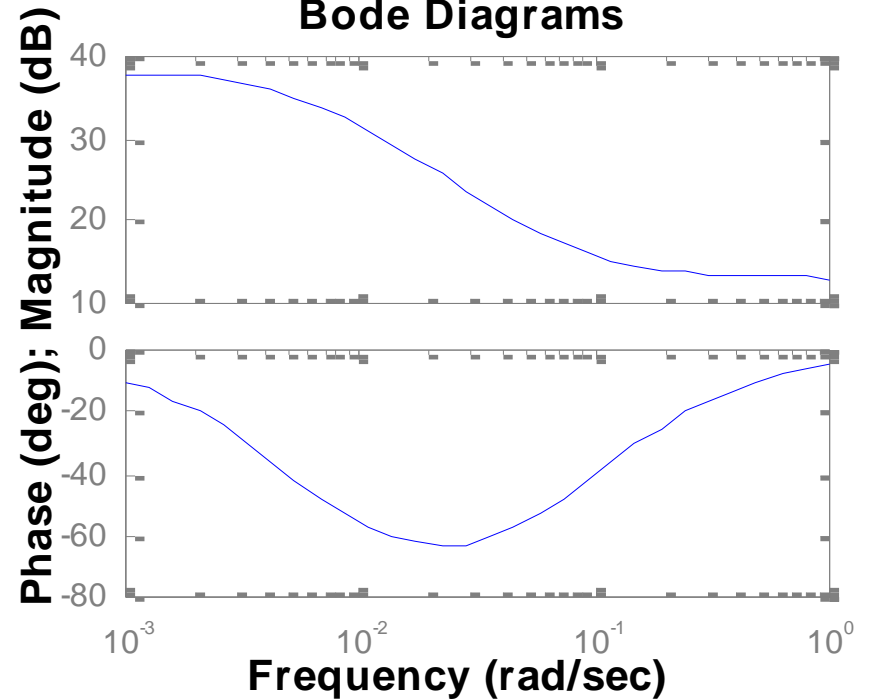
$$G_c(s) = K_c \beta \frac{T s + 1}{\beta T s + 1} = K \frac{s + \frac{1}{T}}{s + \frac{1}{\beta T}}; \beta > 1$$

$$K_c = \frac{K}{\beta} = \frac{80}{17.78} = 4.5$$

$$G_c(s) = \frac{4.5(s + 0.0945)}{(s + 0.0053)}$$

$$GH(s) = \frac{1}{s(s + 4)(0.6s + 1)}$$

Bode Diagrams



Ejemplo

$$G_c(s) = \frac{4.5(s + 0.0945)}{(s + 0.0053)}$$

$$GH(s) = \frac{1}{s(s + 4)(0.6s + 1)}$$

Bode Diagrams

